

## **8 Škrupiny zaťažené vonkajším tlakom**

### **8.1 Účel**

Táto kapitola poskytuje požiadavky na navrhovanie škrupín vystavených zaťaženiu vonkajším tlakom. Požiadavky platia pre vystužené a nevystužené valcovité a kužeľovité, guľovité škrupiny a klenuté dná.

Tam, kde pôsobia významné zaťaženia, dodatočné spevnenie sa zabezpečí buď zväčšením hrúbky škrupiny, alebo pomocou výstuže. Predpisy neplatia v oblasti tečenia/krípu materiálov, iba podľa požiadaviek v kapitole 19 a predpokladá sa, že odchýlka sa upraví počas krípu pod nadmerné odchýlky citované v EN 13445-4: 2009.

## 8.2 Špecifické definície

Nasledujúce definície platia okrem tých, ktoré sú uvedené v kapitole 3.

**8.2.1 nominálna medza pružnosti (angl. nominal elastic limit):** medza pružnosti, ktorá platí v tejto kapitole na navrhovanie pri zaťažení vonkajším tlakom

**8.2.2 masívna výstuha (angl. heavy stiffener):** obvodová výstuha, ktorú navrhne projektant ako masívnu/hrubostennú tak, aby platili špeciálne požiadavky tejto kapitoly

**8.2.3 ľahká výstuha (angl. light stiffener):** obvodová výstuha, ktorú navrhne projektant ako ľahkú/tenkostennú tak, aby platili špeciálne požiadavky tejto kapitoly

**8.2.4 preborenie medzi výstuhami (angl. interstiffener collapse):** zrútenie – kolaps časti valca medzi dvoma vystužovacími prstencami alebo medzi vystužovacím prstencom a dnom nádoby

**8.2.5 celkové preborenie (angl. overall collapse):** zrútenie – kolaps časti valca, ktorý zahrňa ľahkú alebo masívnu výstuhu

**8.2.6 rovina hlavnej podpery (angl. plane of substantial support):** dno nádoby alebo rovina rozdeľujúca nádobu na dve časti, z ktorej každá sa posudzuje samostatne pri navrhovaní od vonkajšieho tlaku

**8.2.7 súčinieľ bezpečnosti (angl. safety factor):** pomer dolného medzného predpokladaného tlaku do preborenia/zrútenia a výpočtového tlaku

**8.2.8 vybočenie výstuhy (angl. stiffener tripping):** bočné zakrivenie výstuhy okolo svojho prípojného bodu k plášťu

## 8.3 Špecifické značky a definície

Nasledujúce špecifické značky a skratky platia okrem tých, ktoré sú uvedené v kapitole 4.

a	je dĺžka plášťa pokrytá vyhrievacou/chladiacou cievkou, pozri obrázky 8.5-11a a 8.5-12;
$A_e$	prierez výstuhy a voľná dĺžka plášťa, pozri rovnici (8.5.3-30);
$A_f$	prierez prírubu výstuhy;
$A_m$	modifikovaný prierez výstuhy, pozri rovnici (8.5.3-17);
$A_s$	prierez výstuhy;
$A_w$	prierez steny;
B	parameter výpočtu preborenia/zrútenia medzi výstuhami, pozri rovnici (8.5.3-18);
C	súčinieľ výpočtu vybočenia výstuhy, pozri rovnice (8.5.3-50) a (8.5.3-51);
CGs	vyjadruje polohu ľažiska výstuhy;
CGc	vyjadruje ľažisko výstuhy plus voľnú dĺžku plášťa;
$\bar{d}$	vzdialenosť ku koncu výstuhy, pozri rovnici (8.5.3-40);
d	radiálna výška výstuhy medzi prírubami, pozri obrázky 8.5-14, 8.5-15, 8.5-16 a 8.5-17;
$e_f$	hrúbka príruby výstuhy;
$e_w$	hrúbka steny výstuhy;
G	parameter výpočtu preborenia/zrútenia medzi výstuhami, pozri rovnici (8.5.3-22);
$h, h', h''$	sú vonkajšie výšky klenutých dien, pozri obrázky 8.5.1 a 8.5.2;
$I_e$	moment zotrvačnosti plochy zloženého prierezu výstuhy a voľnej dĺžky plášťa pôsobiacej s ňou (Le) okolo osi rovnobežnej s osou valca prechádzajúcej cez ľažisko zloženého prierezu, pozri rovnici (8.5.3-26);
$I_{est}$	predbežne vypočítaný moment zotrvačnosti plochy výstuhy;
$I_l$	moment zotrvačnosti plochy príruby okolo jej ľažiska;

$I_s$	moment zotrvačnosti plochy prierezu výstuhy okolo osi prechádzajúcej cez ťažisko rovno-bežne s osou valca;
$I_w$	moment zotrvačnosti plochy steny okolo jej ťažiska;
$L$	nepodopretá dĺžka plášťa;
$L_{cyl}$	dĺžka valca medzi dotyčnicami;
$L_{con}$	axiálna dĺžka kužeľa, pozri obrázok 8.5-2;
$L_e$	voľná dĺžka plášťa pôsobiaca s ťahou výstuhou, pozri rovnicu (8.5.3-34);
$L_{eH}$	voľná dĺžka plášťa pôsobiaca s masívou výstuhou udanou v 8.5.3.7;
$L_H$	vzdialenosť medzi masívnymi výstuhami, pozri tabuľku 8.5-1;
$L'_H, L''_H, \dots$	sú jednotlivé dĺžky medzi masívnymi výstuhami, pozri obrázok 8.5-7;
$L_s$	stredná dĺžka dvoch polí plášťa príahlých k ťahkej výstuhe, pozri tabuľku 8.5-1;
$L_{sH}$	stredná dĺžka dvoch polí plášťa príahlých k masívnej výstuhe, pozri 8.5-1;
$L'_s, L''_s, \dots$	sú jednotlivé dĺžky medzi ťahkými výstuhami, pozri obrázky 8.5-6 a 8.5-8;
$N$	parameter výpočtu preborenia/zrútenia medzi výstuhami, pozri rovnicu (8.5.3-21) a tabuľku 8.5-2;
$n$	počet obvodových vln pre vystužený valec;
$n_{cyl}$	počet obvodových vln pre nevystuženú časť valca, pozri 8.5.2.2;
$P$	požadovaný vonkajší návrhový tlak;
$P_c$	návrhový tlak vo vyhrievacom/chladiacom kanáli tak, ako je použitý v 8.5.3.5;
$P_g$	teoretický tlak elastickej nestability výstuhy na valci, pozri rovnicu (8.5.3-24), alebo na kuželi, pozri rovnicu (8.6.4-1);
$P_H$	teoretický tlak elastickej nestability na masívnu výstuhu, pozri rovnicu (8.5.3-42);
$P_m$	teoretický tlak elastickej nestability na preborenie/zrútenie perfektného valcovitého, kužeľovitého alebo guľovitého plášťa, pozri rovnice (8.5.2-5), (8.6.3-2) a (8.7.1-2);
$P_r$	vypočítaný dolný medzny tlak na preborenie/zrútenie získaný z obrázka 8.5-5;
$P_y$	tlak, pri ktorom stredné obvodové napätie vo valcovitom alebo kužeľovitom plášti v strede medzi výstuhami alebo v guľovitom plášti dosiahne medzu klzu, pozri rovnice (8.5.2-4), (8.6.3-1) a (8.7.1-1);
$P_{ys}$	tlak spôsobujúci obvodový sklz vo výstuhe na valci, pozri rovnicu (8.5.3-38), alebo na kuželi, pozri rovnicu (8.6.4-6);
$R$	stredný polomer valcovitého alebo guľovitého plášťa alebo stredný polomer prstenca torosférického dna;
$R_f$	polomer pre časť výstuhy, ktorá sa nachádza najďalej od plášťa (pozri obrázky 8.5-14 až 8.5-17);
$R_s$	polomer ťažiska prierezu výstuhy;
$R_{p0,2/T,s}$	dohovorená medza klzu pri $p = 0,2\%$ pri teplote T pre výstuhu;
$r_i$	polomer bodu na stene výstuhy najbližšie k plášťu, okolo ktorého sa predpokladá rotácia pri vybočení/vyšmyknutí výstuhy (pozri obrázky 8.5-14 až 8.5-17);
$S$	súčinieľ bezpečnosti použitý v tejto kapitole, pozri rovnicu (8.4.4-1);
$S_f$	súčinieľ závisiaci od metódy výroby výstuhy – rovnice (8.5.3-32) a (8.5.3-33);
$u$	parameter použitý vo výpočte $L_e$ , pozri rovnice (8.5.3-36);
$w_i$	celková šírka výstuhy i v kontakte s plášťom, pozri rovnicu (8.5.3-39) a (pozri obrázky 8.5-14 až 8.5-17);
$w_t$	prečnievajúca šírka pásnice výstuhy (pozri obrázky 8.5-14 až 8.5-17);
$w', w''$	sú čiastkové šírky výstuhy i v kontakte s plášťom (pozri obrázok 8.5-8);
$X_e$	parameter výpočtu celkového preborenia/zrútenia, pozri rovnicu (8.5.3-27);
$X_{eH}$	parameter výpočtu celkového preborenia/zrútenia, pozri rovnicu (8.5.3-44);
$Y_1, Y_2, Y_3$	sú súčinitele použité vo výpočte $L_e$ , pozri 8.5.3.6.3;

$\alpha$	polovičný vrcholový uhol kužeľa (stupne) (pozri obrázok 8.5-2);
$\beta$	získaný z obrázka 8.5-13, alebo vypočítaný z rovnice (8.5.3-25);
$\delta$	parameter pri navrhovaní výstuh, pozri rovnice (8.5.3-19) a (8.5.3-20);
$\varepsilon$	stredná elastická obvodová deformácia pri preborení/zrútení, pozri 8.5.2.2;
$\varepsilon'$	modifikovaná stredná elastická obvodová deformácia pri zrútení pre kužeľovitý plášť;
$\lambda$	parameter závisiaci od umiestnenia výstuhy, pozri rovnice (8.5.3-28) a (8.5.3-29);
$\sigma_e, \sigma_{es}$	sú nominálne medze pružnosti pre plášť alebo výstuhu, pozri 8.4;
$\sigma_H$	maximálne napätie v masívnej výstuhe, pozri rovnici (8.5.3-47);
$\sigma_i$	napätie nestability pre bočné vyšmyknutie/vybočenie výstuh, pozri rovnice (8.5.3-49) a (8.5.3-54);
$\sigma_s$	maximálne napätie v ľahkej výstuhe, pozri rovnice (8.5.3-37) a (8.6.4-5).

## 8.4 Všeobecne

**8.4.1** Hrúbka komponenta od zaťaženia vonkajším tlakom nesmie byť menšia ako hrúbka požadovaná touto normou pod tým istým tlakom pôsobiacim ako vnútorný tlak so súčiniteľom spoja 1,0.

**8.4.2** Pre plášte zhotovené z neaustenitickej ocele nominálna medza pružnosti musí byť daná:

$$\sigma_e = R_{p0,2/T} \quad (8.4.2-1)$$

a pre výstuhu z rovnakého materiálu:

$$\sigma_{es} = R_{p0,2/T,s} \quad (8.4.2-2)$$

**8.4.3** Pre plášte zhotovené z austenitickej ocele nominálna medza pružnosti musí byť daná:

$$\sigma_e = \frac{R_{p0,2/T}}{1,25} \quad (8.4.3-1)$$

a pre výstuhu z rovnakého materiálu:

$$\sigma_{es} = \frac{R_{p0,2/T,s}}{1,25} \quad (8.4.3-2)$$

**POZNÁMKA.** – Ak hodnota  $R_{p0,2}$  nie je k dispozícii, bezpečným odhadom je  $R_{p1,0}/1,3$ .

**8.4.4 Minimálny súčiniteľ bezpečnosti, ktorý platí v celom rozsahu tejto kapitoly, je daný:**

Pre podmienky navrhovania

$$S = 1,5 \quad (8.4.4-1)$$

Pre podmienky skúšania

$$S = 1,1 \quad (8.4.4-2)$$

## 8.5 Valcovité plášte

### 8.5.1 Hranice kruhovitosti

#### 8.5.1.1 Tolerancia kruhovitosti

Požiadavky 8.5.2 a 8.5.3 platia pre valce, ktoré sú kruhové do 0,5 % polomeru (t.j.  $0,005R$ ) meraný zo skutočného stredu. Tolerancia musí byť uvedená na výkrese nádoby.

Metódy overenia tvaru nádob sú uvedené v prílohe D. Postup stanovenia skutočného stredu súboru meraní polomeru a následne stanovenia odchýlky od skutočného kruhu valca je opísaný v prílohe E.

Je prípustné zmierniť toleranciu, ak je k dispozícii nadmerná hrúbka. Táto záležitosť je obsiahnutá v 8.5.1.2.

### 8.5.1.2 Tolerancia kruhovitosti pre valce s nadmernou hrúbkou

Ak dovolený tlak  $P_r/S$  stanovený v 8.5.2.2 je väčší ako navrhnutý tlak, potom požadovaná tolerancia pre valec sa môže byť zvýšiť na:

$$\text{Tolerancia} = 0,005 \frac{P_r}{P \cdot S} \quad (8.5.1-1)$$

Pre výstuhy sa musí splniť rovnica (8.5.3-37) s požadovanou zväčšenou toleranciou dosadenou na miesto 0,005.

### 8.5.1.3 Dovolený tlak, ak kruhovitosť prevýši toleranciu 0,5 %

Príloha F udáva postup, ktorým možno vypočítať povolený tlak pre valce, pri ktorých sa po výrobe zistilo, že ich kruhovitosť prevyšuje toleranciu 0,5 %.

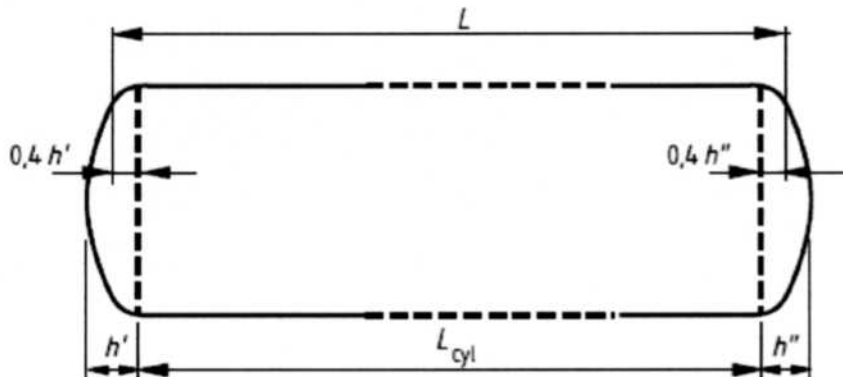
**POZNÁMKA.** – V praxi sa zistilo, že vo väčšine prípadov, kde nie je splnená tolerancia kruhovitosti valca, použitím prílohy F sa musí preukázať, že skutočný tvar je prijateľný. To sa však nesmie predpokladať bez dodržania postupu prílohy F.

## 8.5.2 Nevystužené valce

### 8.5.2.1 Nepodopretá dĺžka

Na obrázku 8.5-1,  $L$  je dané:

$$L = L_{\text{cyl}} + 0,4h' + 0,4h'' \quad (8.5.2-1)$$



Obrázok 8.5-1 – Valec s dnami

Na obrázku 8.5-2,  $L$  je dané:

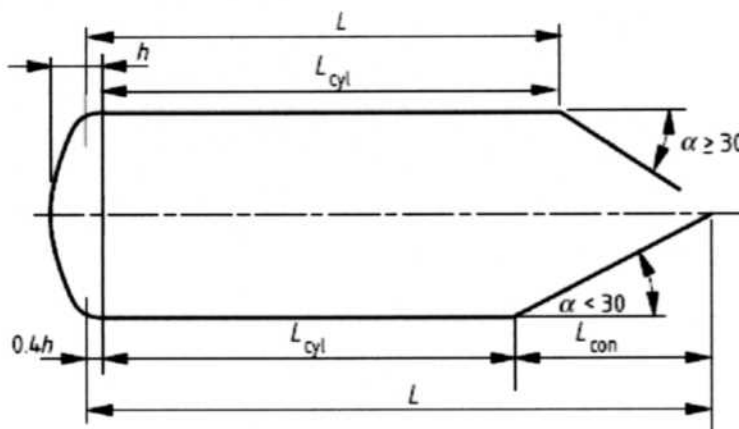
ked'  $\alpha \geq 30^\circ$ .

$$L = L_{\text{cyl}} + 0,4h \quad (8.5.2-2)$$

ked'  $\alpha < 30^\circ$ .

$L$  je dané:

$$L = L_{\text{cyl}} + 0,4h + L_{\text{con}} \quad (8.5.2-3)$$



POZNÁMKA. – Pre priesecníky kužeľa/valca pozri 8.6.5.

Obrázok 8.5-2 – Valec s dnom a kužeľovou časťou

### 8.5.2.2 Hrúbka valca

Hrúbka valca nesmie byť menšia ako hrúbka stanovená podľa nasledujúceho postupu :

a) zvolí sa hodnota pre  $e_a$  a vypočítame  $P_y$  takto:

$$P_y = \frac{\sigma_e \cdot e_a}{R} \quad (8.5.2-4)$$

b) vypočítá sa  $P_m$  z nasledujúcej rovnice použitím rovnakej zvolenej hodnoty pre  $e_a$ :

$$P_m = \frac{E \cdot e_a \cdot \varepsilon}{R} \quad (8.5.2-5)$$

kde  $E$  je hodnota modulu pružnosti pre výpočtovú teplotu

POZNÁMKA 1. – Výpočtová teplota je definovaná v 3.5 a vysvetlená v 5.3.11.

POZNÁMKA 2. – Hodnota  $E$  ako funkcia teploty je uvedená v prílohe O.4.

$\varepsilon$  buď získané z obrázka 8.5-3, alebo vypočítané zo vzťahu:

$$\varepsilon = \frac{1}{n_{cyl}^2 - 1 + \frac{Z^2}{2}} \left\{ \frac{1}{\left( \frac{n_{cyl}^2}{Z^2} + 1 \right)^2} + \frac{e_a^2}{12 R^2 (1 - \nu^2)} \left( n_{cyl}^2 - 1 + Z^2 \right)^2 \right\} \quad (8.5.2-6)$$

kde  $n_{cyl}$  je celé číslo získané z obrázka 8.5-4, alebo vypočítané na minimalizovanie hodnoty  $P_m$ ;

$$Z = \frac{\pi \cdot R}{L} \quad (8.5.2-7)$$

v ktorom  $L$  je stanovené podľa 8.5.2.1.

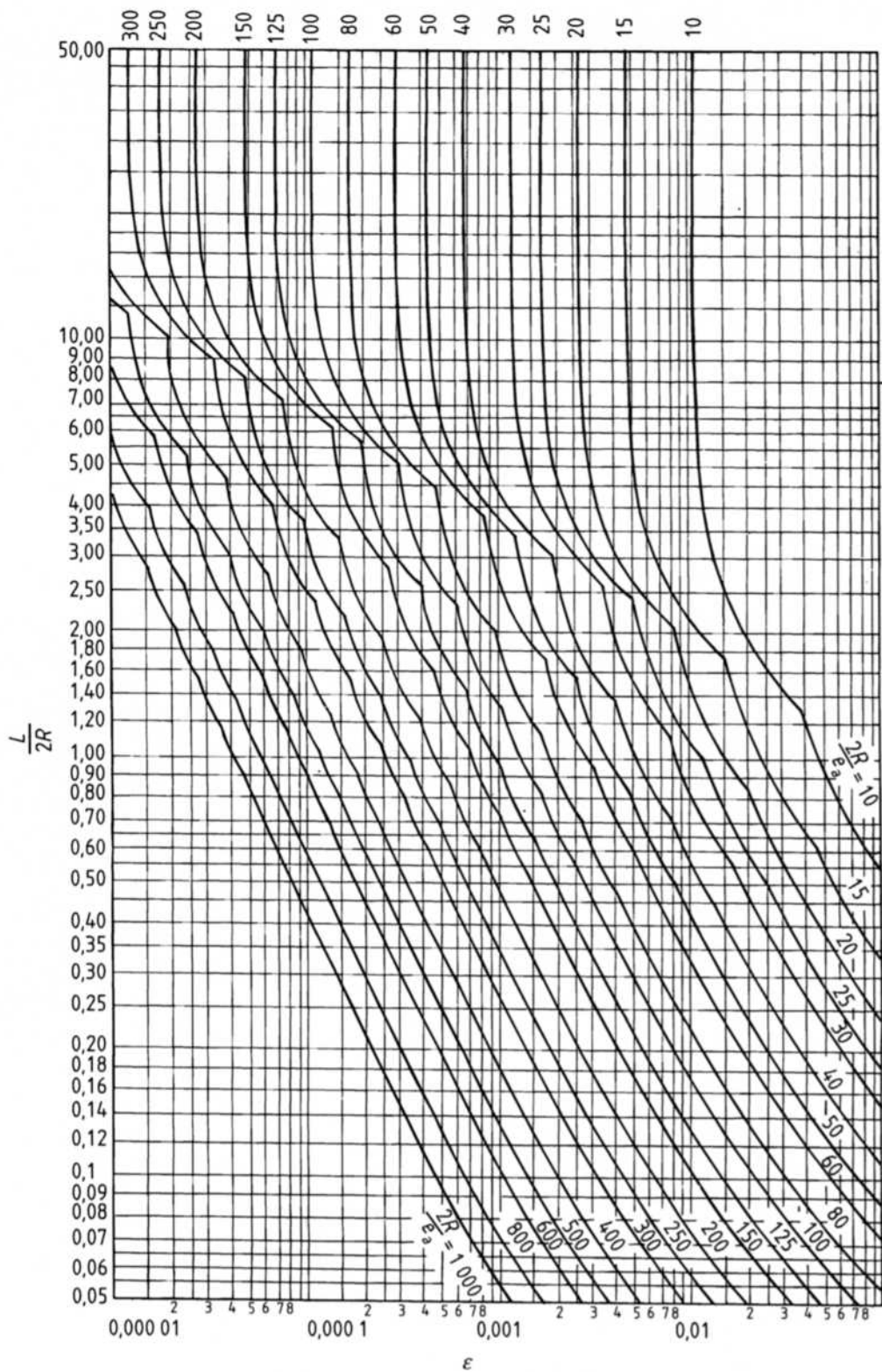
POZNÁMKA. – Obrázok 8.5-3 je nakreslený podľa rovnice (8.5.2-6).

c) vypočítame  $\frac{P_m}{P_y}$  a stanovíme  $\frac{P_r}{P_y}$  z krivky 1) na obrázku 8.5-5.

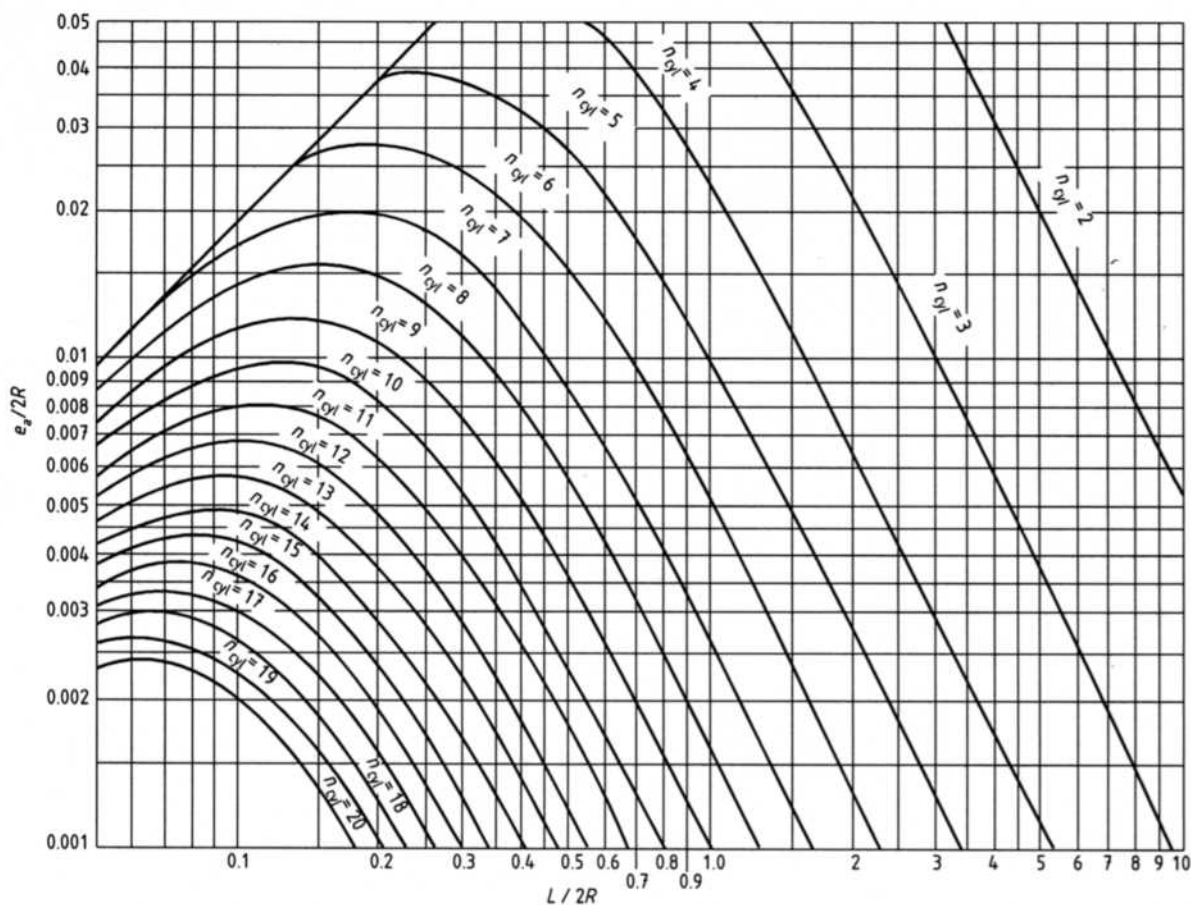
Musí sa splniť nasledujúca podmienka:

$$P < P_r / S \quad (8.5.2-8)$$

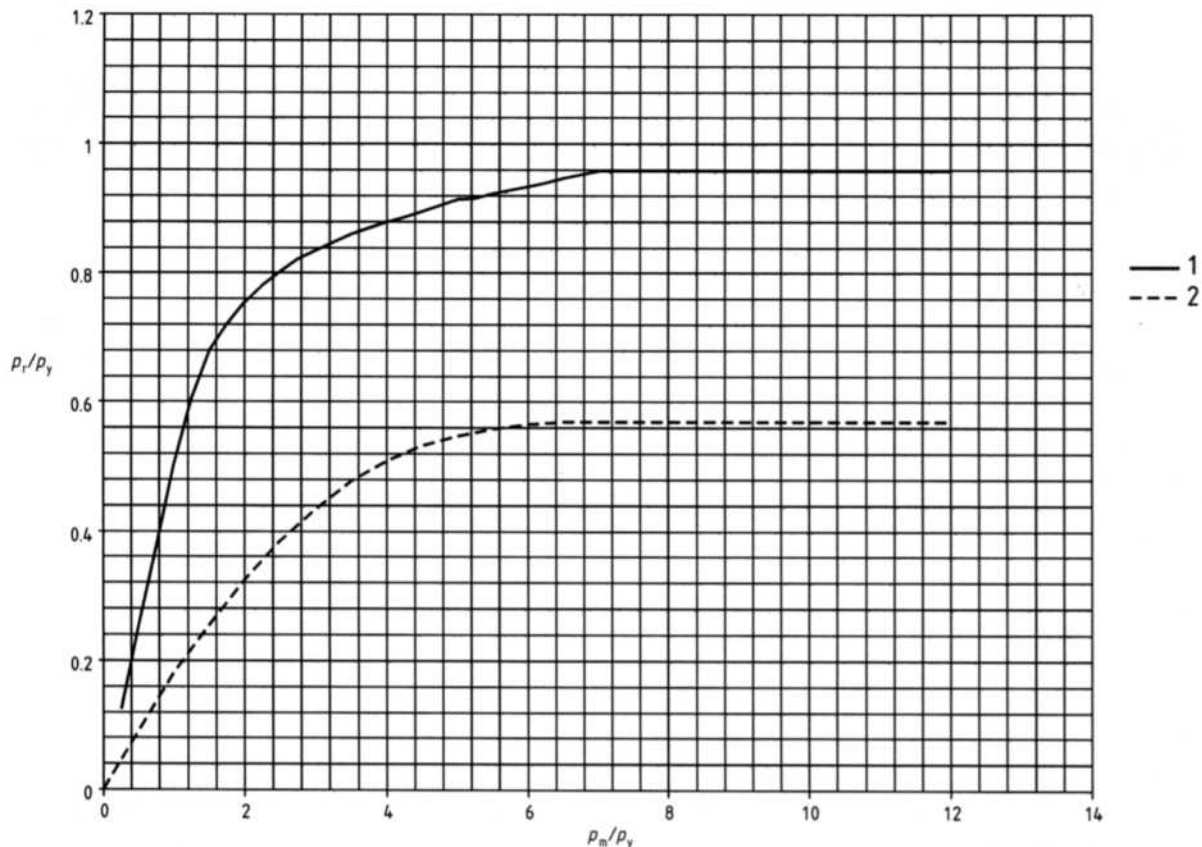
Ak  $P_r$  je veľmi malý, hrúbka sa musí zväčšiť alebo sa musí zabezpečiť výstuha a postup sa musí zopakovať.

Obrázok 8.5-3 – Hodnoty  $\varepsilon$ 

Musíme použiť hodnotu  $n_{\text{cyl}}$  zodpovedajúcu najbližšej krvke, ale v prípade pochybností musíme posúdiť obidve hodnoty  $n_{\text{cyl}}$ .



Obrázok 8.5-4 – Hodnoty  $n_{cyl}$ , pre ktoré je  $P_m$  minimálne

**Legenda****1 – Valce a kužele**

$P_m/P_y$	0	0,25	0,5	0,75	1,0	1,25	1,5	1,75	2,0	2,25	2,5	2,75	3	3,25	3,5
$P_r/P_y$	0	0,125	0,251	0,375	0,5	0,605	0,68	0,72	0,755	0,78	0,803	0,822	0,836	0,849	0,861
$P_m/P_y$	3,75	4,0	4,25	4,5	4,75	5,0	5,25	5,5	5,75	6,0	6,25	6,5	6,75	$\geq 7,0$	
$P_r/P_y$	0,87	0,879	0,887	0,896	0,905	0,914	0,917	0,923	0,929	0,935	0,941	0,947	0,953	0,959	

**2 – Gule a klenuté dná**

$P_m/P_y$	0	0,5	1	1,5	2	2,5	3,0	3,5	4	4,5	5,0	5,5	6	$\geq 6,5$
$P_r/P_y$	0	0,09	0,18	0,255	0,324	0,386	0,435	0,479	0,51	0,533	0,548	0,565	0,567	0,57

**Obrázok 8.5-5 – Hodnoty  $P_r/P_y$  ako funkcie  $P_m/P_y$** **8.5.3 Vystužené valce****8.5.3.1 Úvod**

Článok 8.5.3 udáva postup na stanovenie, či valec so stanovenými výstuhami môže prenášať navrhovaný vonkajší tlak. Všetky výstuhy sa musia navrhnúť buď ako masívne alebo ľahké. Je prípustné nepovažovať malé obvodové prstence ako výstuhy.

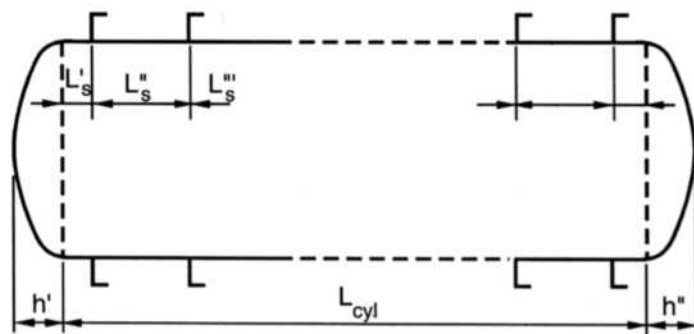
**POZNÁMKA.** – Masívna výstuga je zvyčajne obvodová príruba alebo iná hlavná časť, ale môže ňou byť predovšetkým bežná výstuga. Ľahká výstuga je zvyčajne prstenec, profil T, uholník alebo profil tvaru I. Vo väčšine praktických prípadov musí byť určitý počet výstuh rovnomerne rozložený pozdiž valca. Potom je najekonomickejšie navrhnúť všetky výstuhy ako ľahké, lebo výpočet celkového tlaku do zrátenia zohľadní odpor plášta na jeho spôsob porušenia, ale ak by sa všetky navrhli ako masívne, viedlo by to k oveľa jednoduchšiemu výpočtu.

**8.5.3.2 Nevystužená dĺžka**

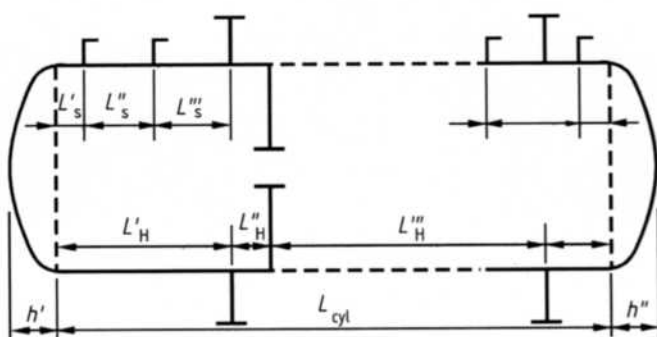
Nevystužené dĺžky valca s výstuhami musia byť v súlade s tabuľkou 8.5-1. Rozmery sú uvedené na obrázkoch 8.5-6, 8.5-7 a 8.5-8.

Tabuľka 8.5-1 – Definícia dĺžky valca

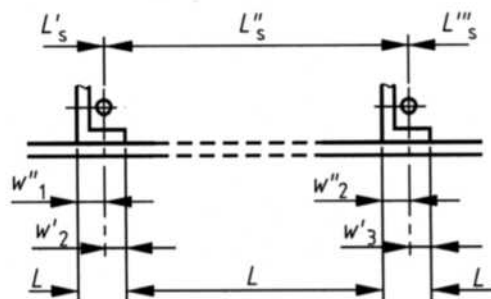
Valec s ľahkými výstuhami	Valec s ľahkými a masívnymi výstuhami
Samostatne pre každé pole $L = (L'_s - w'_1) + 0,4h'$ (8.5.3-1)	Samostatne pre každé pole $L = (L'_s - w'_1) + 0,4h'$ (8.5.3-3)
alebo $L = L''_s - w'_2 - w''_2$ (8.5.3-2)	alebo $L = L''_s - w'_2 - w''_2$ (8.5.3-4)
	alebo $L = L''_s - w'_3 - w''_3$ (8.5.3-5)
Samostatne na každú ľahkú výstuhu $L_s = (L'_s + 0,4h' + L''_s)/2$ (8.5.3-6)	Samostatne na každú ľahkú výstuhu $L_s = (L'_s + 0,4h' + L''_s)/2$ (8.5.3-8)
alebo $L_s = (L''_s + L''_s)/2$ (8.5.3-7)	alebo $L_s = (L''_s + L''_s)/2$ (8.5.3-9)
Na vyhodnotenie $\beta$ $L_H = L_{cyl} + 0,4h' + 0,4h''$ (8.5.3-10)	Na vyhodnotenie $\beta$ $L_H = L'_H + 0,4h'$ (8.5.3-11)
	Alebo $L_H = L''_H$ (8.5.3-12)
	Na každú masívnu výstuhu $L_{sH} = (L'_H + 0,4h' + L''_H)/2$ (8.5.3-13)
	alebo $L_{sH} = (L''_H + L''_H)/2$ (8.5.3-14)



Obrázok 8.5-6 – Valec s ľahkými výstuhami



Obrázok 8.5-7 – Valec s ľahkými a masívnymi výstuhami

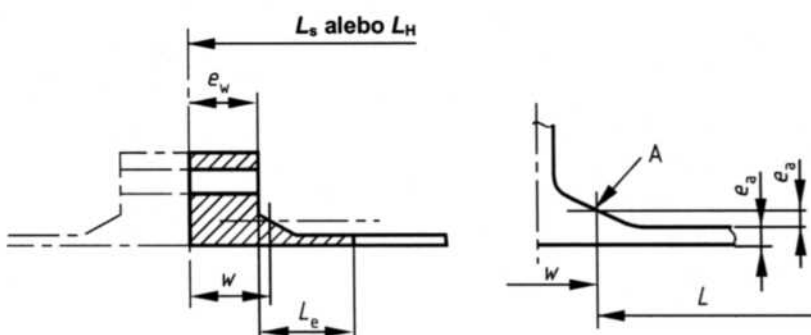


Obrázok 8.5-8 – Podrobné rozmery

Kde príruba fungujú ako masívne výstuhy, šrafovaná plocha musí byť stanovená tak, ako vidieť na obrázku 8.5-9 a). Bod « A » musí byť umiestnený tak, ako vidieť na obrázku 8.5-9 b) a musí sa stanoviť  $w$ .

$A_s$  jednej prírubi sa musí vypočítať zo šrafovanej plochy ménas  $e_a(e_w + L_e)$ .

Spojenie  $A_s$  a  $L_e$  obidvoch prírub sa musí zvážiť pri vyhodnocovaní ich primeranosti ako výstuhy.



a) Definícia šrafovanej plochy

b) Umiestnenie bodu A

Obrázok 8.5-9 – Prírubi ako masívne výstuhy

### 8.5.3.3 Navrhovanie výstuh

Ked' výstuhy majú formu úcelovo zabudovaných prstencov obopínajúcich plášť, takéto prstence sa môžu umiestniť do vnútra, vonku alebo čiastočne vnútorne a čiastočne zvonka k plášťu nádoby. Prstence môžu spĺňať aj prevádzkové požiadavky ako napríklad podpera etážového zásobníka vo frakčných kolónach, ktorá odoláva vonkajšiemu tlaku. Musia spĺňať požiadavky 8.5.3 a byť primerané prevádzkovým zaťaženiam procesu.

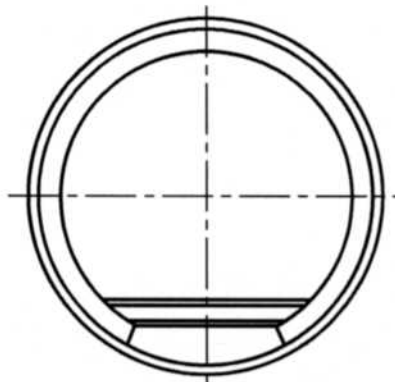
Tam, kde medzi vystužovacím prstencom a pláštom je medzera, dĺžka nevystuženého plášťa nesmie prevýšiť:

$$\frac{\text{obvod nádoby}}{4n_{\text{cyl}}}$$

Pozri obrázok 8.5-10.

Tam, kde sa môže vyskytnúť štrbinová korózia, nesmú sa použiť prerušované zvary na upevnenie takýchto prstencov na plášť.

**POZNÁMKA.** – Začiatočnú približnú veľkosť prstencovej výstuhy možno odhadnúť použitím 10 % plochy plášťa medzi výstuhami.



Obrázok 8.5-10 – Vnútorný výstužný prstenec, ktorý nie je v úplnom kontakte s plášťom

#### 8.5.3.4 Preborenie/Zrútenie medzi výstuhami

Každá časť vystuženého valca sa musí prekontrolovať z hľadiska preborenia/zrútenia medzi výstuhami. Postup je podobný ako v 8.5.2.2 pre nevystužené valce, ale  $L$  sa stanoví z tabuľky 8.5-1 v závislosti od toho, či má valec ťahké výstuhy alebo kombináciu ťahkých a masívnych výstuh;

a) vypočítame  $P_y$  takto:

$$P_y = \frac{\sigma_e \cdot e_a}{R (1 - \gamma \cdot G)} \quad (8.5.3-15)$$

**POZNÁMKA 1.** – Aproximácia  $\gamma = 0$  je bezpečná, lebo podhodnocuje tlak.

V ktorej

$$\gamma = \frac{A_m \left(1 - \frac{v}{2}\right)}{(A_m + w \cdot e_a) (1 + B)} \quad (8.5.3-16)$$

kde

$$A_m = \left( \frac{R^2}{R_s^2} \right) A_s \quad (8.5.3-17)$$

$$B = \frac{2 e_a \cdot N}{\delta (A_m + w \cdot e_a)} \quad (8.5.3-18)$$

$$\delta = \frac{[3(1-v^2)]^{0,25}}{\sqrt{R \cdot e_a}} \quad (8.5.3-19)$$

z ktorej, ak  $v = 0,3$

$$\delta = \frac{1,28}{\sqrt{R \cdot e_a}} \quad (8.5.3-20)$$

$$N = \frac{\cosh(\delta L) - \cos(\delta L)}{\sinh(\delta L) + \sin(\delta L)} \quad (8.5.3-21)$$

a

$$G = \frac{2 \left[ \sinh\left(\frac{\delta L}{2}\right) \cos\left(\frac{\delta L}{2}\right) + \cosh\left(\frac{\delta L}{2}\right) \sin\left(\frac{\delta L}{2}\right) \right]}{\sinh(\delta L) + \sin(\delta L)} \quad (8.5.3-22)$$

POZNÁMKA 2. – Ak  $L > 3\sqrt{R \cdot e_a}$  potom možno použiť  $G = 0$ .

POZNÁMKA 3. – Tabuľku 8.5-2 možno použiť na vyhodnotenie  $G$  a  $N$ .

- b) vypočíta sa  $P_m$  ako v 8.5.2.2 b) pričom nadálej sa bude používať  $L$  z tabuľky 8.5-1;
- c) stanoví sa  $P_r$  ako v 8.5.2.2 c) a skontroluje sa, či je splnená rovnica (8.5.2-8).

**Tabuľka 8.5-2 – Hodnoty  $G$  a  $N$ , ktoré možno predpokladať**

$\delta \cdot L$	$G$	$N$	$\delta \cdot L$	$G$	$N$
0	1,000	0	3,2	0,411	1,090
0,2	1,000	0,100	3,4	0,335	1,085
0,4	1,000	0,200	3,6	0,264	1,077
0,6	0,999	0,300	3,8	0,200	1,066
0,8	0,996	0,400	4,0	0,144	1,054
1,0	0,990	0,497	4,2	0,095	1,042
1,2	0,979	0,593	4,4	0,054	1,032
1,4	0,961	0,685	4,6	0,019	1,023
1,6	0,935	0,772	4,7	0,004	1,019
1,8	0,899	0,851	(4,73)	0,000	1,018
2,0	0,852	0,921	4,8	0,000	1,015
2,2	0,795	0,979	5,0	0,000	1,009
2,4	0,728	1,025	5,2	0,000	1,005
2,6	0,653	1,058	5,4	0,000	1,001
2,8	0,573	1,078	5,5	0,000	1,000
3,0	0,492	1,088	> 5,5	0,000	1,000

### 8.5.3.5 Vyhrievacie/ochladzovacie kanály

Tento článok udáva požiadavky na hrúbkú valca, na ktorý sú pripojené obvodové vyhrievacie/ochladzovacie kanály. Takéto kanály sú známe aj ako polkruhové alebo privárané hady. Dva typické príklady konštrukcie vidieť na obrázkoch 8.5-11 a 8.5-12.

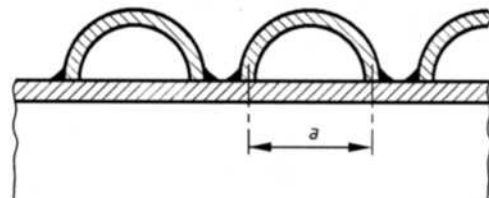
Hrúbkua valca požadovaná na prenos tlaku v kanáloch je daná:

$$e = a \sqrt{\frac{P_c}{3f}} \quad (8.5.3-23)$$

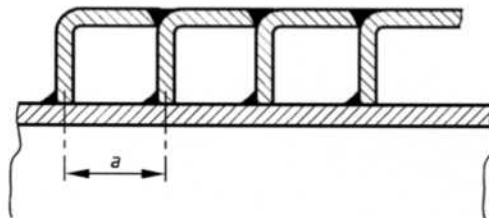
kde  $a$  je znázornená na obrázkoch 8.5-11 a 8.5-12.

Valec musí spĺňať aj požiadavky 7.4.2 (na vnútorný tlak), 8.5.3.6 alebo 8.5.3.7 (na vonkajší tlak) pri neuvažovaní tlaku v kanáloch. Kanály možno posudzovať ako výstuhy proti vonkajšiemu tlaku.

POZNÁMKA. – Rovnica (8.5.3-23) nezahŕňa tlak  $P$ , lebo ten sa prenáša membránovým zaťažením valca.



Obrázok 8.5-11 – Duplikátory s vyhrievacími/ochladzovacími polrúrkovými kanálmi



Obrázok 8.5-12 – Duplikátory s vyhrievacími/ochladzovacími komôrkovými kanálmi

### 8.5.3.6 Navrhovanie ľahkých výstuh

#### 8.5.3.6.1 Všeobecne

Na zabránenie celkového preborenia/zrútenia sa musia navrhovať ľahké výstupy v súlade s postupmi v článkoch 8.5.3.6.2, 8.5.3.6.3 a 8.5.3.6.4.

#### 8.5.3.6.2 Navrhovanie proti elastickej nestabilite

Vypočíta sa  $P_g$  pre  $n = 2$  až  $n = 6$  použitím:

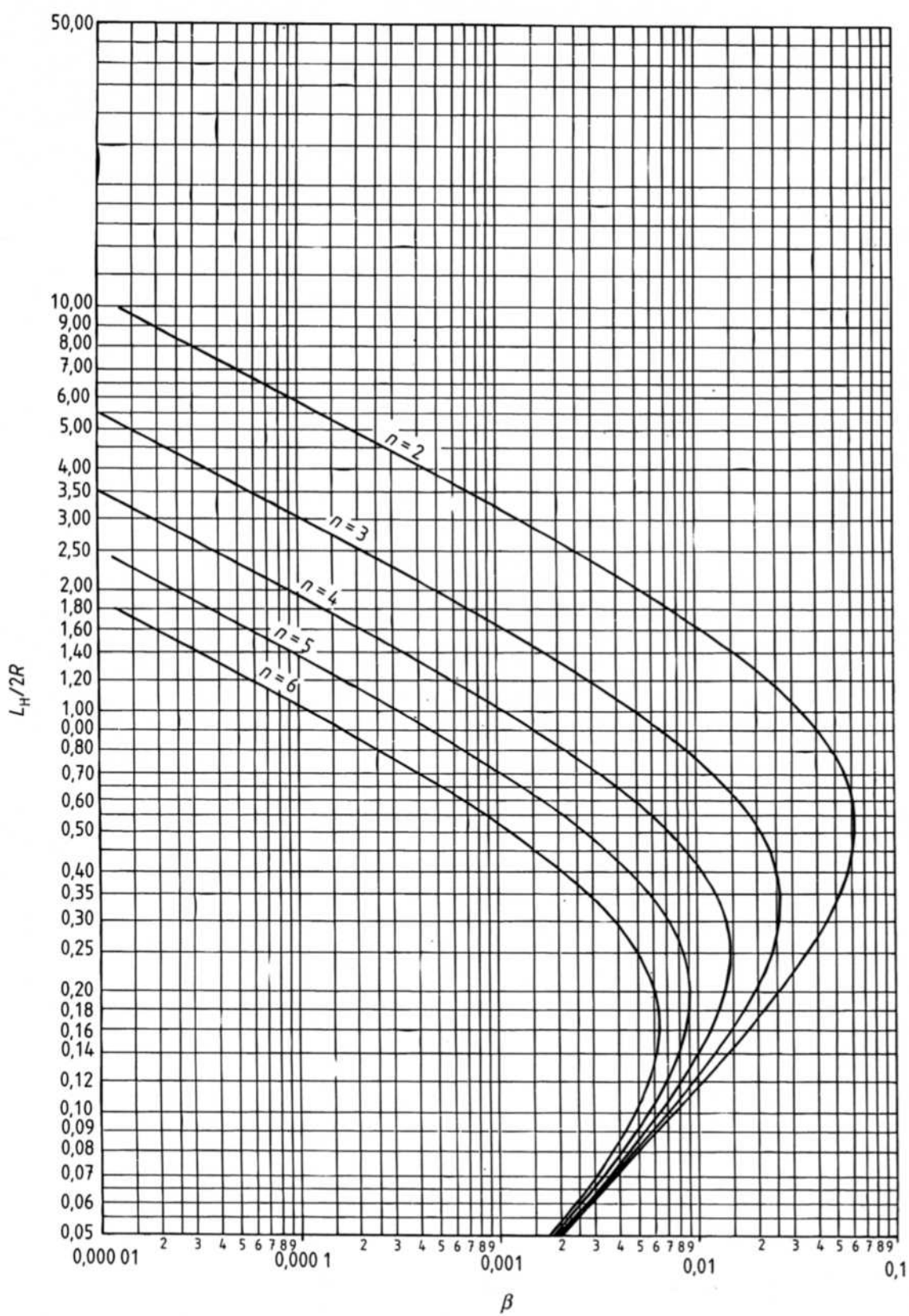
$$P_g = \frac{E \cdot e_a \cdot \beta}{R} + \frac{(n^2 - 1)}{R^3 \cdot L_s} E \cdot I_e \quad (8.5.3-24)$$

kde  $\beta$  je získané buď z obrázka 8.5-13, alebo vypočítané z:

$$\beta = \frac{1}{\left[ n^2 - 1 + \frac{1}{2} \left( \frac{\pi R}{L_H} \right)^2 \right] \left[ n^2 \left( \frac{L_H}{\pi R} \right)^2 + 1 \right]^2} \quad (8.5.3-25)$$

POZNÁMKA. – Obrázok 8.5-13 je nakreslený z rovnice (8.5.3-25).

$L_s$  a  $L_H$  sú získané z tabuľky 8.5-1.

Obrázok 8.5-13 – Hodnoty  $\beta$

$$I_e = \frac{e_a^3 \cdot L_e}{3} + I_s + A_s \left[ \frac{e_a}{2} + \lambda (R - R_s) \right]^2 - A_e \cdot X_e^2 \quad (8.5.3-26)$$

v ktorej

$$X_e = \frac{\left\{ \left( \frac{e_a^2}{2} \right) L_e + A_s \left[ \frac{e_a}{2} + \lambda (R - R_s) \right] \right\}}{A_e} \quad (8.5.3-27)$$

kde pre vnútorné výstuhy:

$$\lambda = +1 \quad (8.5.3-28)$$

a pre vonkajšie výstuhy:

$$\lambda = -1 \quad (8.5.3-29)$$

$$A_e = A_s + e_a \cdot L_e \quad (8.5.3-30)$$

Hodnota  $L_e$  sa určí z 8.5.3.6.3.

Pre  $n = 2, 3, 4, 5$  a  $6$ :

$$P \leq \frac{P_g}{S_f \times S}, \quad (8.5.3-31)$$

kde pre osobitne vyrobené alebo za tepla tvarované výstuhy (t. j. s nízkymi zvyškovými napäťami):

$$S_f = 1,20 \quad (8.5.3-32)$$

a pre za studena ohýbané výstuhy (t. j. s vysokými zvyškovými napäťami):

$$S_f = 1,33 \quad (8.5.3-33)$$

Ak rovnica (8.5.3-31) nie je splnená, musí sa zabezpečiť dodatočná ťahká výstuha alebo masívna výstuha, alebo sa musí zväčšiť hrúbka plášťa.

### 8.5.3.6.3 Stanovenie $L_e$

Nasledujúci vzorec sa musí použiť na získanie  $L_e$ , keď  $0,001095 \leq e_a/R \leq 0,0346$ . Keď  $e_a/R > 0,0346$ , potom  $L_e$  sa získa použitím vzorca so skutočnou hodnotou  $L_s/R$  ale pre  $e_a/R = 0,0346$ .

$$L_e/R = \frac{Y_1 \sqrt{e_a/R}}{\sqrt{Y_3 \cdot x + \sqrt{1 + Y_2 \cdot x^2}}} \quad (8.5.3-34)$$

kde

$$x = n^2 \left( \frac{e_a}{R} \right) \quad (8.5.3-35)$$

$$u = \frac{\frac{L_s}{R}}{\sqrt{\frac{e_a}{R}}} \quad (8.5.3-36)$$

Hodnoty  $Y_1$ ,  $Y_2$  a  $Y_3$  udáva tabuľka 8.5-3

Tabuľka 8.5-3 – Parametre na výpočet  $L_s$ 

Pre $u =$	$Y_1 =$	$Y_2 =$	$Y_3 =$
$u \leq 1$	$u/(1/1,098 + 0,03u^3)$	0	$0,6(1 - 0,27u)u^2$
$1 < u < 2,2$		$u - 1$	
$2,2 \leq u \leq 2,9$		1,2	
$2,9 < u < 4,1$	$1,2 + 1,642/u$	$0,75 + 1,0/u$	$0,65 + 1,5/u$
$4,1 \leq u < 5$	$1,556 + 0,183/u$		
$5 \leq u$			

## 8.5.3.6.4 Maximálne napäťia vo výstuhách

$\sigma_s$  sa musí vypočítať zo vzťahu:

$$\sigma_s = S \cdot S_f \left( \frac{P \cdot \sigma_{es}}{P_{ys}} \right) + \frac{E \cdot \bar{d} \cdot 0,005 (n^2 - 1) P \cdot S \cdot S_f}{R (P_g - P \cdot S \cdot S_f)} \quad (8.5.3-37)$$

kde

$$p_{ys} = \frac{\sigma_{es} \cdot e_a \cdot R_f}{R^2 \left( 1 - \frac{v}{2} \right)} \left[ 1 + \frac{A_m}{w_i \cdot e_a + \frac{2N \cdot e_a}{\delta}} \right] \quad (8.5.3-38)$$

$A_m$  je dané rovnicou (8.5.3-17);

$\delta$  dané rovnicou (8.5.3-19);

$N$  dané rovnicou (8.5.3-21) alebo tabuľkou 8.5-2;

A pre každú výstuhu:

$$w_i = w'_i + w''_i \quad (8.5.3-39)$$

a

$$\bar{d} = \max \left\{ \left[ \lambda (R - R_f) - X_e + \frac{e_a}{2} \right]; X_e \right\} \quad (8.5.3-40)$$

$S_f$  je dané rovnicou (8.5.3-32) alebo (8.5.3-33);

$P_g$  dané rovnicou (8.5.3-24).

Pre celý výpočet platí:

- dĺžky  $L$ ,  $L_s$  musí byť v súlade s tabuľkou 8.5-1;
- $L_e$  sa získa z 8.5.3.6.3 pre každú hodnotu  $n$ .

Pre  $n = 2, 3, 4, 5$  a 6:

$$0 \leq \sigma_s \leq \sigma_{es} \quad (8.5.3-41)$$

Ak nie je splnená rovnica (8.5.3-41) musí byť zabezpečená dodatočná výstuha, masívnejšia výstuha alebo zväčšená hrúbka plášťa.

POZNÁMKA. – Zjednodušenie  $A_m = 0$  je vždy prístupné, ale vyvolá väčší prierez výstuhy.

### 8.5.3.7 Navrhovanie masívnych výstuh

#### 8.5.3.7.1 Stanovenie tlaku do preborenia/zrútenia (straty stability)

Pre každú masívnu výstuhu sa vypočíta:

$$\rho_H = \frac{3}{R^3 \cdot L_{sh}} E \cdot I_{eh} \quad (8.5.3-42)$$

kde  $L_{sh}$  je v súlade s tabuľkou 8.5-1;

$$I_{eh} = \frac{e_a^3 \times L_{eh}}{3} + I_s + A_s \left[ \frac{e_a}{2} + \lambda (R - R_s) \right]^2 - A_e \times X_{eh}^2 \quad (8.5.3-43)$$

kde  $L_{eh}$  je stanovené z rovnice (8.5.3-34) s  $L_s = L_{sh}$  v rovnici (8.5.3-36);

$$X_{eh} = \frac{\frac{e_a^2 \cdot L_{eh}}{2} + A_s \left[ \frac{e_a}{2} + \lambda (R - R_s) \right]}{A_e} \quad (8.5.3-44)$$

$\lambda$  je z rovnice (8.5.3-28) alebo (8.5.3-29);

$$A_e = A_s + e_a \times L_{eh} \quad (8.5.3-45)$$

Pre každú masívnu výstuhu sa požaduje, aby:

$$P \leq \frac{P_H}{S_f \times S} \quad (8.5.3-46)$$

kde  $S_f$  je dané rovnicou (8.5.3-32) alebo (8.5.3-33).

#### 8.5.3.7.2 Stanovenie maximálneho napäťia

Vypočítame  $\sigma_H$  takto:

$$\sigma_H = S \cdot S_f \frac{P \cdot \sigma_s}{P_{ys}} + \frac{E \cdot d \cdot 0,015 P \cdot S \cdot S_f}{R (P_H - P \cdot S \cdot S_f)} \quad (8.5.3-47)$$

kde  $P_{ys}$  je dané rovnicou (8.5.3-38)

POZNÁMKA. – To je rovnaký vzorec ako vzorec pre  $\sigma_s$  pri navrhovaní ľahkej výstuhy, ale s  $n = 2$ .

$\sigma_H$  musí splniť požiadavku:

$$0 < \sigma_H < \sigma_{es} \quad (8.5.3-48)$$

Dodatočná výstuba, masívnejšia výstuba alebo zväčšená hrúbka plášťa sa musia zabezpečiť, ak nie je splnená rovnica (8.5.3-48).

### 8.5.3.8 Preborenie/Zrútenie výstuh

#### 8.5.3.8.1 Pre výstuhu okrem tvaru plochej tyče

a)  $\sigma_i$  musí splniť požiadavku:

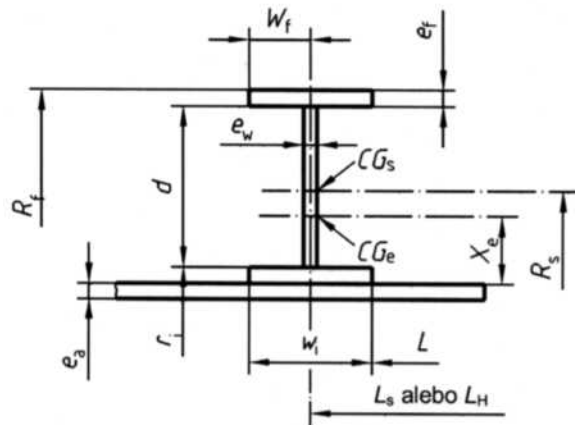
$$\sigma_i = E \cdot C \left( \frac{P_{ys}}{P} \right) > \sigma_{es} \quad (8.5.3-49)$$

Pre výstuhy znázormené na obrázkoch 8.5-14, 8.5-15 a 8.5-17, C sa musí vypočítať takto:

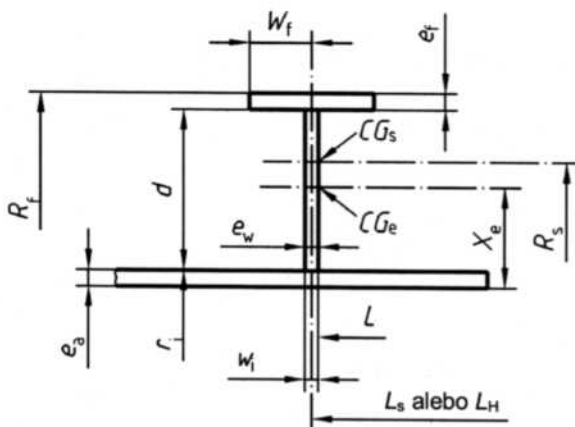
$$C = \frac{d \cdot e_w^3 + 8 e_f \cdot w_f^3}{r_i [6 d^2 \cdot e_w + 12 e_f \cdot w_f (2 d + e_f)]} \quad (8.5.3-50)$$

a pre výstuhu znázormenú na obrázku 8.5-16, C je:

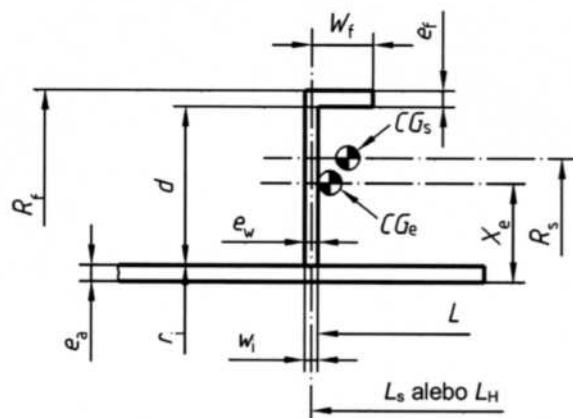
$$C = \frac{e_f \cdot w_f^3}{r_i [6 d^2 \cdot e_w + 6 e_f \cdot w_f (2 d + e_f)]} \cdot \left[ \frac{4d \cdot e_w + 8w_f \cdot e_f}{d \cdot e_w + 3w_f \cdot e_f} \right] \quad (8.5.3-51)$$



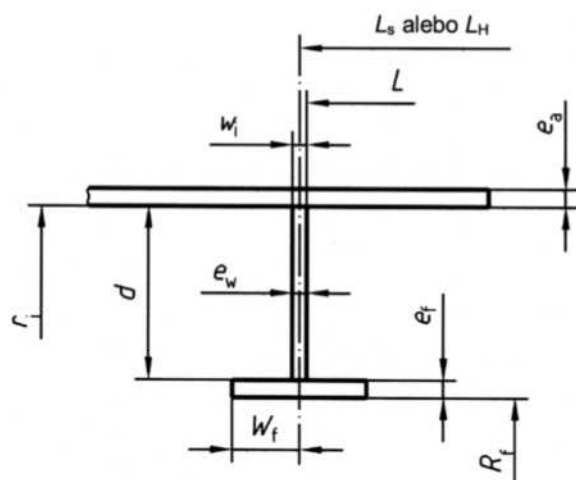
Obrázok 8.5-14 – Vonkajšia výstuga tvaru I



Obrázok 8.5-15 – Vonkajšia výstuga tvaru T



Obrázok 8.5-16 – Vonkajšia uholníková výstuha



### Obrázok 8.5-17 – Vnútorná výstuha tvaru T

b) Ak je výstuhu tvorená pásnicou na okraji vzdialenom od plášťa nádoby, pomerné rozmery výstuh musia vyhovieť nasledujúcemu:

$$\frac{d}{e_w} \leq \max \left( 1,1 \sqrt{\frac{E}{\sigma_{es}}} ; 0,67 \sqrt{\frac{E \cdot P_{ys}}{\sigma_{es} \cdot P}} \right) \quad (8.5.3-52)$$

alebo

$$\frac{w_f}{e_f} \leq \max \left( 0,5 \sqrt{\frac{E}{\sigma_{es}}} ; 0,32 \sqrt{\frac{E \cdot P_{ys}}{\sigma_{es} \cdot P}} \right) \quad (8.5.3-53)$$

#### 8.5.3.8.2 Pre výstuhu tvaru plochei tvče

$$\frac{\sigma_i}{4} > \frac{P \cdot \sigma_{es}}{P_{vs}} \quad (8.5.3-54)$$

$\sigma_i$  sa musí získať z tabuľky 8.5-4 pre vnútorné výstuhy alebo z tabuľky 8.5-5 pre vonkajšie výstuhy použitím hodnoty  $n_{cyl}$  z obrázka 8.5-4.

**Tabuľka 8.5-4 – Hodnoty  $(\sigma_i/E)(d/e_w)^2$  pre vnútorné výstuhy tvaru plochých tyčí**

$d/R$ $n_{cyl}$	0,01	0,02	0,04	0,06	0,08	0,10	0,12	0,14	0,16	0,18	0,20
2	0,0119	0,0236	0,0466	0,0691	0,0913	0,114	0,135	0,157	0,180	0,202	0,225
3	0,0239	0,0461	0,0865	0,123	0,156	0,187	0,217	0,247	0,276	0,305	0,334
4	0,0395	0,0734	0,130	0,176	0,216	0,252	0,286	0,319	0,353	0,386	0,421
5	0,0577	0,103	0,171	0,223	0,266	0,304	0,341	0,378	0,416	0,456	0,498
6	0,0778	0,132	0,208	0,262	0,306	0,347	0,387	0,428	0,472	0,517	0,570
7	0,0981	0,160	0,240	0,294	0,340	0,382	0,427	0,474	0,527	0,580	0,643
8	0,119	0,186	0,268	0,322	0,369	0,415	0,465	0,517	0,580	0,647	0,725
9	0,139	0,210	0,290	0,345	0,394	0,445	0,502	0,565	0,638	0,720	0,812
10	0,158	0,231	0,310	0,365	0,417	0,474	0,536	0,614	0,696	0,792	0,903
11	0,176	0,249	0,328	0,383	0,440	0,502	0,575	0,662	0,758	0,874	1,010
12	0,193	0,266	0,343	0,400	0,461	0,531	0,614	0,715	0,831	0,966	1,121
13	0,209	0,280	0,356	0,416	0,483	0,560	0,657	0,768	0,903	1,058	–
14	0,224	0,293	0,368	0,431	0,502	0,594	0,700	0,831	0,981	–	–
15	0,237	0,304	0,379	0,446	0,527	0,628	0,749	0,894	1,068	–	–
16	0,249	0,314	0,389	0,461	0,551	0,662	0,797	0,961	–	–	–
17	0,260	0,324	0,399	0,476	0,575	0,696	0,850	1,034	–	–	–
18	0,270	0,332	0,409	0,493	0,599	0,734	0,903	1,106	–	–	–
19	0,279	0,339	0,418	0,507	0,623	0,773	0,961	–	–	–	–
20	0,287	0,346	0,427	0,522	0,652	0,816	1,019	–	–	–	–

POZNÁMKA 1. – Keďže  $(\sigma_i/E)(d/e_w)^2$  je limitované na maximálnu hodnotu 1,14, hodnoty výrazu nesmú byť extrapolované nad túto hodnotu.

POZNÁMKA 2. – Pre medziľahlé hodnoty  $d/R$ , sa použije (desiatková) logaritmická interpolácia.

## PRÍKLAD

Pre  $n_{cyl} = 2$ , hodnota  $(\sigma_i/E)(d/e_w)^2$  sa požaduje pre  $d/R = 0,05$ . Potom:

$$z = \lg(0,0466) + [\lg(0,0691) - \lg(0,0466)] \left[ \frac{0,05 - 0,04}{0,06 - 0,04} \right]$$

$$(\sigma_i/E)(d/e_w)^2 = 10^z = 0,0567$$

Tabuľka 8.5-5 – Hodnoty  $(\sigma/E) (d/e_w)^2$  pre vonkajšie výstupy v tvaru plochých tyčí

$d/R$	0,01	0,011	0,012	0,015	0,02	0,025	0,03	0,04	0,045	0,05	0,06	0,08	0,10	0,12	0,14	0,16	0,18	0,20
$n_{cyl}$																		
2	0,012	0,0132	0,0144	0,0180	0,0241	0,0303	0,0366	0,0492	0,0557	0,0622	0,0755	0,103	0,133	0,164	0,198	0,236	0,277	0,324
3	0,0257	0,0284	0,0311	0,0374	0,0537	0,0687	0,0846	0,119	0,138	0,157	0,201	0,310	0,462	0,695	1,10	1,99*		
4	0,0466	0,0517	0,0570	0,0734	0,103	0,137	0,175	0,268	0,326	0,395	0,581	1,44*						
5	0,0768	0,0860	0,0955	0,126	0,187	0,263	0,361	0,679	0,965	1,46*								
6	0,120	0,136	0,153	0,211	0,340	0,537	0,881	1,44*										
7	0,183	0,211	0,242	0,356	0,677	1,48*												
8	0,279	0,331	0,390	0,648	1,92*													
9	0,438	0,541	0,676	1,49*														
10	0,736	0,998	1,42*															
11	1,49*																	

\* Tieto hodnoty sú uvedené, aby bolo možné interpolovať medziiahle hodnoty.

POZNÁMKA 1. – Vydielie nemôže nastaviť pre  $n > 10$ ,  $d/R > 0,01$  pod vonkajším tlakom.

POZNÁMKA 2. –  $(\sigma/E) (d/e_w)^2$  je limitované na maximálnu hodnotu 1,14.

POZNÁMKA 3. – Na stanovenie medziiahlych hodôd  $d/R$  sa použije logaritmická interpolácia.

## 8.6 Kužeľovitý plášť

### 8.6.1 Všeobecne

Táto kapitola stanovuje požiadavky na hrúbkou kužeľovitého plášťa s  $\alpha \leq 75^\circ$ .

Tolerancie musia byť ako pre valcovité plášte – pozri 8.5.1

POZNÁMKA. – Postup je podobný ako v prípade valcovitých plášťov.

### 8.6.2 Dodatočné označenie špecifické pre kužeľe

Nasledujúce značky a skratky platia okrem tých, ktoré sú uvedené v 8.3.

$d'$	je vzdialenosť od vonkajšieho konca výstuhy, pozri rovnicu (8.6.4-8);
$e$	minimálna hrúbka po celej dĺžke kužeľa;
$I'_e$	moment zotrvačnosti plochy kombinovaného plášťa a výstuhy, pozri rovnicu (8.6.4-2);
$I'_{e,i}$	kombinovaný moment zotrvačnosti plochy výstuhy i a plášťa vo vzdialosti osi $X_i$ od malého priemeru kužeľa a prevzatím hodnôt pre ea samostatne pre každé pole, pozri rovnicu (8.6.4-2 a 8.6.4-14);
$L'_e, L''_e$	sú voľné dĺžky plášťa príahlého k výstuhe, pozri obrázok 8.6-1;
$N_Y$	počet polí medzi ťahkými výstuhami v dĺžke $L_H$ ;
$R_i$	stredný polomer najtennej časti kužeľa meraný v rovine výstuhy i, pozri obrázok 8.6-6;
$R_{\max}$	maximálny polomer plášťa kužeľa na kontrolu preborenia/zrútenia medzi výstuhami, pozri obrázky 8.6-2, 8.6-3 a 8.6-6;
$\bar{R}_{\max}$	maximálny polomer plášťa kužeľa na kontrolu celkového preborenia/zrútenia, pozri obrázok 8.6-4 a 8.6-5;
$R_n$	stredný polomer plášťa kužeľa na kontrolu preborenia/zrútenia medzi výstuhami, pozri obrázky 8.6-2, 8.6-3 a 8.6-6;
$\bar{R}_n$	stredný polomer plášťa kužeľa pre kontrolu celkového zrútenia, pozri obrázok 8.6-4 a 8.6-5;
$X_w$	vzdialenosť od ťažiska steny k ťažisku kombinovanej výstuhy a plášťa, pozri obrázok 8.6-1;
$X_f$	vzdialenosť od ťažiska príruby k ťažisku kombinovanej výstuhy a plášťa, pozri obrázok 8.6-1;
$X'_s, X''_s$	sú vzdialenosťi od ťažiska kombinovanej výstuhy a plášťa ku ťažisku efektívnych prierezov plášťa príahlého k výstuhe, pozri obrázok 8.6-1;
$X_i$	osový rozstup výstuhy i, pozri obrázok 8.6-6;
$\sigma_1$	maximálne obvodové napätie na styku bez vystuženia;
$\sigma_2$	maximálne obvodové napätie vo valci, pozri rovnicu (8.6.5-1).

### 8.6.3 Preborenie/Zrútenie medzi výstuhami

Nasledujúci postup sa musí použiť na navrhovanie kužeľov v súlade s obrázkom 8.6-2 na zabránenie preboreniu/zrúteniu medzi výstuhami:

- stanovi sa hodnota  $e_a$  a vypočíta sa

$$P_y = \frac{e_a \sigma_e \cos \alpha}{R_{\max}} \quad (8.6.3-1)$$

POZNÁMKA. – To je rovnaké ako rovnica (8.5.3-15) pre  $P_y$  nahradením  $e_a \cos \alpha$  za  $e_a$ ,  $R_{\max}$  za  $R$  a zvolením  $\gamma = 0$ .

- vypočíta sa

$$P_m = \frac{E e_a \varepsilon \cos^3 \alpha}{R_n} \quad (8.6.3-2)$$

$\varepsilon$  sa musí stanoviť z obrázka 8.5-3 použitím  $\frac{L}{2R_n \cos \alpha}$  namiesto  $\frac{L}{2R}$  a  $\frac{2R_n \cos \alpha}{e_a}$  namiesto  $\frac{2R}{e_a}$ .

$R_n$  a  $R_{\max}$  musia byť také, ako definujú obrázky 8.6-2 až 8.6-6

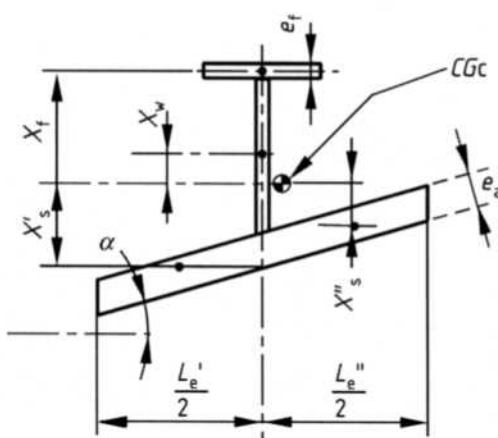
POZNÁMKA. – Rovnica (8.6.3-2) pre  $P_m$  je rovnaká ako rovnica (8.5.2-5) nahradením  $e_a \cos \alpha$  za  $e_a$ ,  $R_n \cos^2 \alpha$  za  $R$ ;  $\varepsilon \cos^4 \alpha$  za  $\varepsilon$ ;  $L \cos \alpha$  za  $L$ .

c) vypočíta sa  $P_m$  a stanoví sa  $P_r$  z krvky 1 na obrázku 8.5-5.

Výpočtový tlak musí splniť požiadavku:

$$P \leq \frac{P_r}{S} \quad (8.6.3-3)$$

Ak nie je splnená rovnica (8.6.3-3), musí sa zväčšiť hrúbka alebo zmenšiť rozstup medzi výstuhami.



Obrázok 8.6-1 – Konštrukčné prvky

## 8.6.4 Celkové zrútenie kužeľovitého plášťa a rozstup výstuh

### 8.6.4.1 Konštantná hrúbka plášťa, rozmerov a rozstupu výstuh

#### 8.6.4.1.1 Všeobecne

Požiadavky na rozmery výstužných prstencov na odolnosť proti preklopeniu výstuh, udané pre valce v článku 8.5.3.8 platia bez úpravy.

Tieto požiadavky sa nevzťahujú na vnútorné výstuhu na kužeľovitých škrupinách.

#### 8.6.4.1.2 Ľahké výstuhy

Na navrhovanie ľahkých výstuh na kužeľovitých plášťoch konštantnej hrúbky, ako vidieť na obrázku 8.6-3 sa používajú metódy pre ľahké výstuhu na valcoch v 8.5.3.6 s nasledujúcou úpravou:

$$P_g = \frac{E \cdot e_a \cdot \beta \cos^3 \alpha}{R_n} + \frac{(n^2 - 1) E \cdot l'_e \cos \alpha}{\bar{R}_{\max}^3 \cdot L_s} \quad (8.6.4-1)$$

kde  $\beta$  sa stanoviť z obrázka 8.5-13 alebo z rovnice (8.5.3-25) nahradením  $R$  s  $R_n \cos \alpha$ .

$\bar{R}_n$  a  $\bar{R}_{\max}$  musia byť také, ako definujú obrázky 8.6-4 až 8.6-5:

$$I'_e = A_f \cdot X_f^2 + A_w \cdot X_w^2 + \left( \frac{e_a \cdot L'_e}{2} \right) X_s'^2 + \left( \frac{e_a \cdot L''_e}{2} \right) X_s''^2 + I_f + I_w + \left( \frac{e_a}{12} \right) \sin^2 \alpha \left[ \left( \frac{L'_e}{2} \right)^3 + \left( \frac{L''_e}{2} \right)^3 \right] + \\ + \left( \frac{e_a^3}{12} \right) \cos^2 \alpha \left( \frac{L'_e}{2} + \frac{L''_e}{2} \right) \quad (8.6.4-2)$$

$L'_e$  a  $L''_e$  musia byť odvodené z 8.5.3.6.3 s:

$$x = n^2 \left( \frac{e_a}{R_i \cdot \cos \alpha} \right) \quad (8.6.4-3)$$

$$u = \frac{\frac{L_s}{R_i}}{\sqrt{\frac{e_a}{R_i} \cos \alpha}} \quad (8.6.4-4)$$

kde  $R_i$  je stredný polomer plášťa meraný na výstuhe  $i$ .

Na vypočítanie maximálneho napäťia vo výstuhách sa použije:

$$\sigma_s = S \cdot S_f \left( \frac{P \cdot \sigma_{es}}{P_{ys}} \right) + \left( \frac{E \cdot d'}{R_{max}} \right) \frac{0,005(n^2 - 1)P \cdot S \cdot S_f}{(P_g - P \cdot S \cdot S_f)} \quad (8.6.4-5)$$

kde

$$P_{ys} = \frac{\sigma_{es} \cdot e_a \cdot R_f \cos \alpha}{\bar{R}_{max}^2 (1 - u/2)} \left[ 1 + \frac{A_m}{e_a \cdot \cos \alpha \left( \frac{w_i}{\cos \alpha} + 2 \frac{N}{\delta} \right)} \right] \quad (8.6.4-6)$$

kde

$$\delta = 1,28 \sqrt{\frac{\cos \alpha}{R_i \cdot e_a}} \quad (8.6.4-7)$$

$$d' = X_f + \frac{e_f}{2} \quad (8.6.4-8)$$

#### 8.6.4.1.3 Masívne výstuhy

Na navrhovanie masívnych výstuh na kužeľovitých plášťoch konštantnej hrúbky, pozri obrázok 8.6-3, sa používajú metódy pre masívne výstuhu na valcoch v 8.5.3.7 s nasledujúcou úpravou:

$$P_H = \frac{3E \cdot I'_{eH} \cos \alpha}{\bar{R}_{max}^3 \cdot L_{sh}} \quad (8.6.4-9)$$

$\bar{R}_{max}$  sa musí stanoviť z obrázkov 8.6-4 a 8.6-5.

$L_{sh}$  je podľa tabuľky 8.5-1

$$I'_{eH} = A_f \cdot X_f^2 + A_w \cdot X_w^2 + \left( \frac{e_a \cdot L'_{eH}}{2} \right) (X_s')^2 + \left( \frac{e_a \cdot L''_{eH}}{2} \right) (X_s'')^2 + I_f + I_w + \left( \frac{e_a}{12} \right) \sin^2 \alpha \left[ \left( \frac{L'_{eH}}{2} \right)^2 + \left( \frac{L''_{eH}}{2} \right)^2 \right] + \\ + \left( \frac{e_a^3}{12} \right) \cos^2 \alpha \left( \frac{L'_{eH}}{2} + \frac{L''_{eH}}{2} \right) \quad (8.6.4-10)$$

$L'_{\text{eH}}$  a  $L''_{\text{eH}}$  musia byť odvodené podľa 8.5.3.6.3 pre:

$$x = n^2 \left( \frac{e_a}{R_i \cdot \cos \alpha} \right) \quad (8.6.4-11)$$

$$u = \frac{\frac{L_s}{R_i}}{\sqrt{\frac{e_a}{R_i} \cos \alpha}} \quad (8.6.4-12)$$

a  $L_s$  nahradený s  $L_{\text{sH}}$

Pre výpočet maximálnych napäť vo výstuhách sa používa vzťah:

$$\sigma_H = S \cdot S_f \left( \frac{P \cdot \sigma_s}{P_{ys}} \right) + \left( \frac{E \cdot \bar{d}'}{R_{\max}} \right) \frac{0,015 P \cdot S \cdot S_f}{(P_H - P \cdot S \cdot S_f)} \quad (8.6.4-13)$$

kde  $P_{ys}$  je určený rovnicou (8.6.4-6)

#### 8.6.4.2 Obmena hrúbky plášťa, veľkosti výstuhy alebo rozstupu výstuh

Minimálna hrúbka plášťa pre akúkoľvek vzdialenosť medzi rovinami hlavnej podpery sa musí stanoviť použitím rovnice 8.6-3.

Požiadavky na rozmery výstuzného prstenca budú platíť bez úpravy.

Na navrhovanie ťahkých výstuh buď s premenlivou veľkosťou alebo rozstupom, alebo na kužeľoch s premenlivou hrúbkou, tak ako vidieť na obrázku 8.6-6, je prípustné použiť metódu stanovenia pre vystužené valce pomocou rovníc 8.6.3 s ktorýmkoľvek z nasledujúcich bodov:

- tam, kde je rozstup a veľkosť výstuhy konštantná, použije sa minimálna hrúbka kdekoľvek po dĺžke uvažovaného prierezu tým, že sa vypočíta  $P_g$  a  $P_y$ ;
- posúdi sa každá výstuga samostatne použitím príslušnej minimálnej hrúbky plášťa a  $R_{\max}$  pre dve polovičné polia na každej strane výstuhy a  $\beta = 0$ ;
- posúdi sa každá výstuga samostatne použitím príslušnej minimálnej hrúbky a  $R_{\max}$  pre dve polovičné polia na každej strane výstuhy.

Kde  $n > 2$  vypočítame  $P_e$ , ako v b) a kde  $n = 2$  použije sa nasledujúca rovnica:

$$P_g = \frac{E \cdot \bar{e} \cdot \beta \cdot \cos^3 \alpha}{R_n} + \frac{2 E \cdot \cos \alpha (n^2 - 1)}{L_H} \cdot \sum_{i=0}^{i=N_Y} \frac{I'_{e,i} \cdot \sin^2 \alpha \left[ \frac{\pi X_i}{L_c} \right]}{R_i^3} \quad (8.6.4-14)$$

kde  $\beta$  musí byť stanovené z obrázka 8.5-13 s  $\frac{L_H}{2R_n \cos \alpha}$  namiesto  $\frac{L_H}{2R}$  alebo rovnice (8.5.3-25)

s  $R_n \cos \alpha$  namiesto  $R$ .

#### 8.6.5 Priesečníky kužeľa-valca

##### 8.6.5.1 Roviny hlavnej podpery

Tam, kde nie je zaoblenie, priesečník medzi kužeľom a valcom (aj na veľkých aj na malých priemeroch) je rovinou hlavnej podpery, ak  $\alpha \geq 30^\circ$  a ak  $n_{\text{cyl}}$  počet vlnoviek pre minimálny vzperný tlak (získaný z obrázka 8.5-4 alebo použitím rovnice 8.5.3-24, ak sa použili ťahké výstuhy) sa nerovná 2 ani pre kužeľ, ani pre valec.

Ak nie sú splnené uvedené podmienky (buď  $\alpha < 30^\circ$  alebo  $n = 2$ ), vzdialosť  $L$  medzi rovinami hlavnej podpery je súčtom voľnej (voľných) nepodopretej (nepodopretých) dĺžky (dĺžok) valca alebo valcov plus

axiálna dĺžka kužeľa. Hrúbka kužeľa a valca malého priemeru nesmú byť menšie ako hrúbka valca požadovaná v 8.5.3.4, a ak sú prítomné ľahké výstuhy, musí sa použiť ich rozstup a veľkosť, ktoré sú stanovené v 8.6.3.1 pre kužeľ a malý valec, ako aj pre veľký valec.

#### 8.6.5.2 Vystuženie priesečníka kužeľa na malom priemere

Vystuženie v tvare dodatočného zosilnenia hrúbky a/alebo miestneho spevnenia sa musí zabezpečiť, ak treba zachovať maximálne miestne obvodové napätie na malom priemere kužeľa v rámci priateľných medzných hodnôt použitím nasledujúceho postupu.

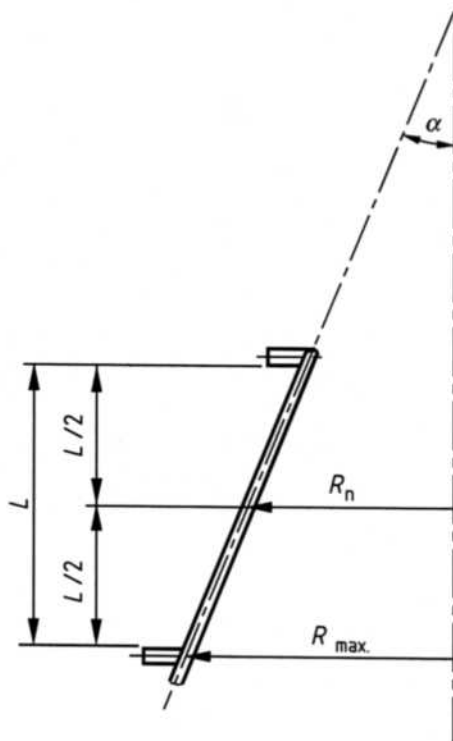
Vypočíta sa maximálne obvodové napätie vo valci:

$$\sigma_2 = \frac{P \cdot R(1 - \gamma \cdot G)}{e} \quad (8.6.5-1)$$

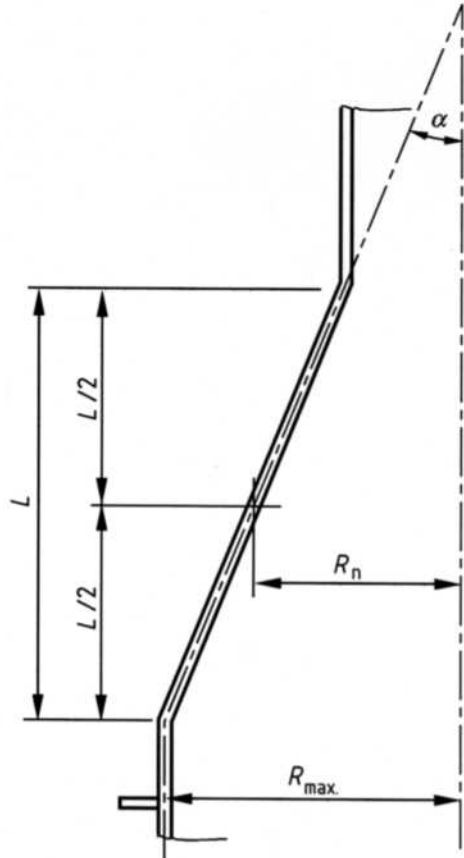
Vypočíta sa maximálne obvodové napätie  $\sigma_1$  na styku bez vystuženia, t.j. pri hrúbke  $e_a$ .

POZNÁMKA. – Na výpočet  $\sigma_1$  neexistuje nijaký jednoduchý vzorec a požaduje sa metóda výpočtu napäťia.

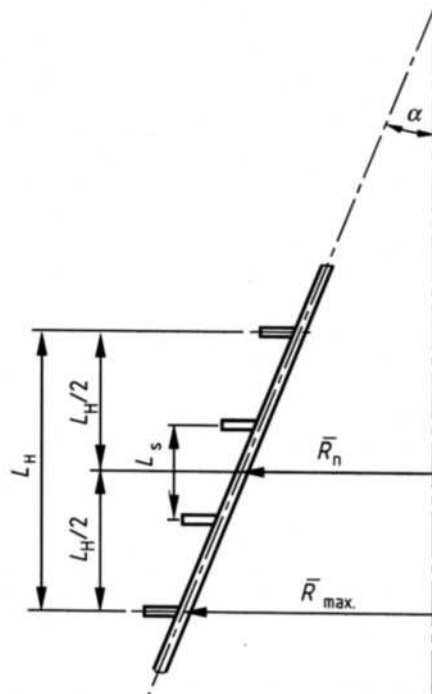
Ak  $\sigma_1 \leq \sigma_2$ , potom sa nepožaduje nijaké vystuženie. Ak sa požaduje vystuženie, potom sa zvýši hrúbka buď kužeľa, alebo valca, alebo obidvoch, alebo sa navrhne dodatočný materiál, napríklad prstencová výstuha alebo taký prechodový kus, aby  $\sigma_1$  po opäťovnom prepočítaní bolo menšie alebo rovnajúce sa  $\sigma_2$ .



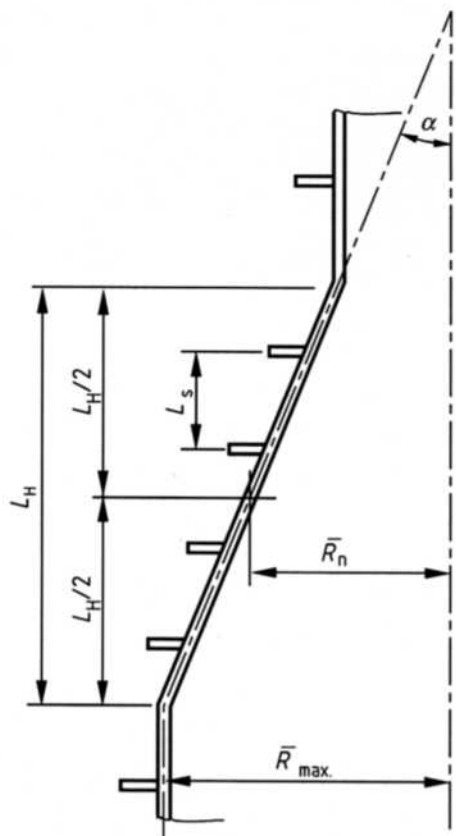
Obrázok 8.6-2 – Nevystužený kužeľovitý plášť medzi výstužnými prstencami



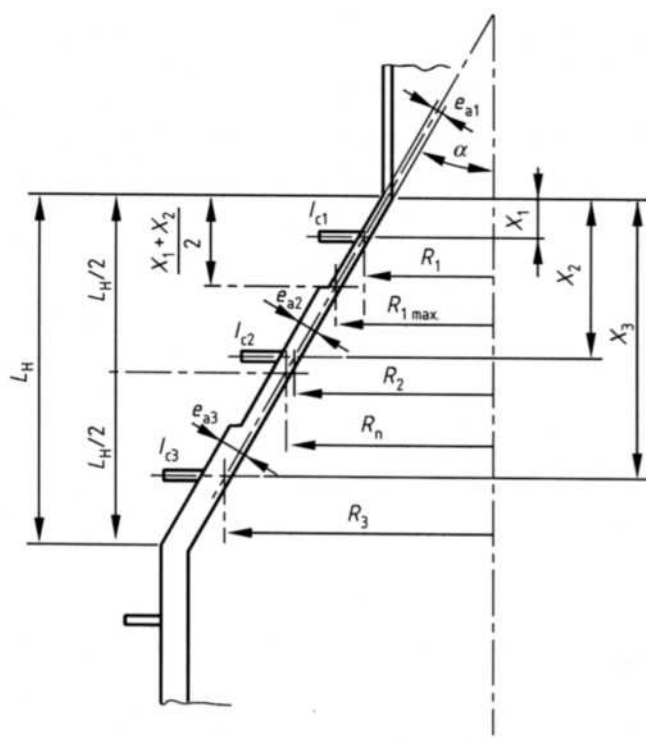
Obrázok 8.6-3 – Nevystužený kužeľovitý plášť medzi stykmi s valcami



Obrázok 8.6-4 – Vystužený kužeľovitý plášť s ľahkými a masívnymi výstuhami



Obrázok 8.6-5 – Vystužený kužeľovitý plášť len s ľahkými výstuhami



Obrázok 8.6-6 – Vystuženie kužeľovitého plášťa s premenlivou hrúbkou a premenlivým rozstupom výstuh (pozri 8.6.4.2)

## 8.7 Guľovité plášte

### 8.7.1 Postup navrhovania

Návrhová hrúbka sa musí stanoviť nasledujúcim postupom:

- a) Predpokladá sa hodnota pre  $e_a$  a vypočítá sa:

$$P_y = \frac{2 \sigma_e \cdot e_a}{R} \quad (8.7.1-1)$$

- b) Vypočítá sa  $P_m$  takto:

$$P_m = \frac{1,21 E \cdot e_a^2}{R^2} \quad (8.7.1-2)$$

- c) Vypočítá sa  $\frac{P_m}{P_y}$  a stanoví sa  $\frac{P_r}{P_y}$  z obrázka 8.5-5 krivka 2.

$$P \leq \frac{P_r}{S} \quad (8.7.1-3)$$

Ak  $P_r$  je menšie než požadované, hodnota  $e_a$  sa musí zvýšiť a postup opakovať.

### 8.7.2 Prípustné odchýlky tvaru

Metóda 8.7.1 platí len pre gule, ktoré sú guľovité do 1 % polomeru a pre ktoré polomer zakrivenia po dĺžke oblúka  $2,4 \sqrt{e_a \cdot R_{max}}$  neprevyšuje menovitú hodnotu o viac ako 30 %.

Pre niektoré aplikácie toto kritérium použitia môže byť veľmi prísne vzhladom na náročnosť výroby a merania. V takých prípadoch je prípustné vydeliť tlak získaný z uvedeného postupu súčiniteľom  $\left(\frac{R_{max}}{1,3 R}\right)^2$ , kde  $R_{max}$  je maximálny miestny polomer zakrivenia buď meraný, alebo odhadnutý konzervatívne.

Metódy overovania tvaru gúľ sú uvedené v prílohe D.6. Maximálny miestny polomer zakrivenia sa musí uviesť na výkrese nádoby.

## 8.8 Dná nádob

### 8.8.1 Polguľovité dná

Polguľovité dná sa musia navrhnúť tak ako guľovité plášte.

### 8.8.2 Torosférické dná

Torosférické dná sa musia navrhnúť ako guľovité plášte stredného polomeru  $R$  rovnajúceho sa polomeru vonkajšieho klenutia alebo polomeru klenby venca.

Pri výpočte vnútorného tlaku pre klenuté dno, tak ako požaduje 7.5.3, súčinieľ  $N$  vo vzorci pre  $\beta$  (pozri rovnicu (7.5-12)) sa musí dosadiť hodnota 1,0. Grafy na obrázkoch 7.5-1 a 7.5-2 sa nesmú použiť.

### 8.8.3 Eliptické dná

Dná poloeliptického tvaru tak, ako je definované v 7.2.5, musia sa navrhnúť ako guľovité plášte stredného polomeru  $R$  rovnajúceho sa maximálnemu polomeru klenby venca:

$$R = D_e^2 / (4 h) \quad (8.8.3-1)$$

$D_e$  definované v 7.5.1 a  $h$  definované v 8.3.